

УДК 532.51.013.4

**О НЕЛИНЕЙНОЙ ЭВОЛЮЦИИ ДВУМЕРНЫХ И ТРЕХМЕРНЫХ  
ВОЛН В СЛОЯХ СМЕШЕНИЯ**

ГЕРЦЕНШТЕЙН С. Я., СУХОРУКОВ А. Н.

Рассматриваются вопросы, связанные с устойчивостью [1–3] и нелинейным развитием возмущений в плоском слое смешения [4–7]. Центральное внимание уделено проблеме нелинейного взаимодействия двумерных и трехмерных возмущений [6, 7], а также разработке соответствующей методики численного анализа, основанной на применении к задачам теории гидродинамической устойчивости метода Бубнова – Галеркина [8–14].

1. Исследование проводится в рамках трехмерных уравнений Эйлера для идеальной несжимаемой жидкости:

$$\frac{\partial \mathbf{v}}{\partial t} + (\mathbf{v} \nabla) \mathbf{v} = -\nabla p$$

$$\operatorname{div} \mathbf{v} = 0, \quad \mathbf{v} = \mathbf{V} + \mathbf{v}' \quad (1.1)$$

Здесь  $\mathbf{V}(U(y), 0, 0)$  – вектор скорости основного потока, исследуемого на устойчивость,  $\mathbf{v}'(u(x, y, z, t), v(x, y, z, t), w(x, y, z, t))$  – вектор скорости возмущений,  $p$  – давление.

Искомое решение представляется по двум пространственным координатам  $x$  и  $z$  в виде ряда Фурье; по третьей координате  $y$  применяется метод Рэлея, модифицированный на нелинейный и трехмерный случай. Следуя [1, 2, 13], профиль скорости основного течения заменяется ломаной  $U_m(y)$

$$U_m = U(y_k) + (y - y_k) \frac{U(y_{k+1}) - U(y_k)}{y_{k+1} - y_k}, \quad y_{k+1} \leq y \leq y_k$$

$$(k = 1, 2, \dots, m-1) \quad (1.2)$$

$$U_m = U(y_1), \quad y_1 \leq y, \quad U_m = U(y_m), \quad y \leq y_m$$

При этом искомое решение уравнений (1.1) для возмущений удается на каждом из интервалов  $(y_{j+1}, y_j)$  представить в следующем [13] аналитическом виде:

$$u_j = \sum_{n=1}^{N_1} \sum_{k=-N_2}^{N_2} \left( u_{nkj} \frac{n\alpha}{\gamma} - w_{nkj} \frac{k\beta}{\gamma} \right) \quad (1.3)$$

$$v_j = \sum_{n=1}^{N_1} \sum_{k=-N_2}^{N_2} v_{nkj}$$

$$w_j = \sum_{n=1}^{N_1} \sum_{k=-N_2}^{N_2} \left( u_{nkj} \frac{k\beta}{\gamma} + w_{nkj} \frac{n\alpha}{\gamma} \right) \quad (1.4)$$

$$\gamma = \sqrt{(n\alpha)^2 + (k\beta)^2}$$

$$\begin{aligned}
u_{nkj} &= -\gamma \left\{ \left[ A_{1nk0}(t) e^{-\gamma y} - \sum_{l=1}^j A_{1nkl}(t) \operatorname{ch} \gamma(y-y_l) \right] \times \right. \\
&\times \cos(n\alpha x + k\beta z) + \left[ A_{2nk0}(t) e^{-\gamma y} - \sum_{l=1}^j A_{2nkl}(t) \operatorname{ch} \gamma(y-y_l) \right] \times \\
&\quad \left. \times \sin(n\alpha x + k\beta z) \right\} + A_{5nkj}(t) \\
v_{nkj} &= \gamma \left\{ \left[ A_{1nk0}(t) e^{-\gamma y} + \sum_{l=1}^j A_{1nkl}(t) \operatorname{sh} \gamma(y-y_l) \right] \sin(n\alpha x + k\beta z) - \right. \\
&\quad \left. - \left[ A_{2nk0}(t) e^{-\gamma y} + \sum_{l=1}^j A_{2nkl}(t) \operatorname{sh} \gamma(y-y_l) \right] \cos(n\alpha x + k\beta z) \right\} \\
w_{nkj} &= -\gamma [A_{3nkj}(t) \cos(n\alpha x + k\beta z) + A_{4nkj}(t) \sin(n\alpha x + k\beta z) + A_{6nkj}(t)]
\end{aligned} \tag{15}$$

Здесь  $\alpha$  и  $\beta$  — волновые числа вдоль осей  $x$  и  $z$ .

На границах интервалов при  $y=y_j$  проводится «склейка» решения: ставится условие непрерывности давления  $p$  (или  $p_x$ ). Выражение для  $p_x$  определяется из первого уравнения системы (1).

Кроме того, используется условие затухания возмущений на бесконечности.

В результате исходная задача сводится к системе нелинейных обыкновенных дифференциальных уравнений для амплитуд  $A_{inkj}(t)$ .

Заметим, что входящие в выражение для  $p_x$  производные по  $y$  от функций  $u_j$  и  $w_j$  находятся не непосредственным дифференцированием приближенных решений (1.3)–(1.5), а с помощью конечноразностной аппроксимации [13]

$$\begin{aligned}
(u_j)_{(v)} &= \frac{u_{j-1}^* - u_j^*}{2(y_{j-1}^* - y_j^*)} + \frac{u_j^* - u_{j+1}^*}{2(y_j^* - y_{j+1}^*)} \\
(w_j)_{(v)} &= \frac{w_{j-1}^* - w_j^*}{2(y_{j-1}^* - y_j^*)} + \frac{w_j^* - w_{j+1}^*}{2(y_j^* - y_{j+1}^*)} \\
y_j^* &= 1/2(y_j + y_{j-1}), \quad u_j^* = u_j(y_j^*), \quad w_j^* = w_j(y_j^*)
\end{aligned} \tag{16}$$

Обоснование метода Рэля, модифицированного применительно к нелинейным и трехмерным задачам, приведено в [13].

Существенно, что численная реализация данного метода на ЭВМ оказывается весьма эффективной. Прежде всего это обусловлено быстрой сходимостью метода Рэля [6, 13, 14]. И, кроме того, разработкой экономичных вычислительных алгоритмов для произвольного числа отрезков ломаной и произвольного числа гармоник — по специальным подпрограммам организуется подстановка рядов (1.3)–(1.5) в исходные уравнения и формирование конечной системы обыкновенных дифференциальных уравнений, которая оказывается относительно компактной и разрешенной относительно производных по времени.

Интегрирование этой системы проводилось методом Кутты — Мерсона с автоматическим выбором шага и контролем заданной точности вычислений.

2. Первоначально в работе была выполнена серия методических исследований, которая показала правомерность введения относительно небольшого числа звеньев ломаной и ограниченного числа гармоник.

Для исследования быстроты сходимости метода Рэлея профиль средней скорости  $U = \text{th}(y)$  аппроксимировался ломаной, состоящей из  $m$  отрезков ( $m=5, 11, 17$ ). Коэффициенты нарастания амплитуд возмущений на линейной стадии развития отличались при этом на 7–5%; изменение профиля средней скорости  $\Delta U(t)$  в районе первого локального максимума при  $t=t_{\max}$  в случае  $m=5$  было в 3–4 раза больше, чем при  $m=17$ , а при  $m=11$  и 17 отличие не превышало 10–15%; энергия основной моды при тех же временах в первом случае была примерно в 4 раза больше, чем в третьем, а во втором и третьем случае отличалась на 2–3%.

Дальнейшее увеличение числа отрезков ломаной не приводило к заметному изменению результатов. Тем самым учет 11 звеньев ломаной в профиле средней скорости оказывается достаточным для правильного «воспроизводства» как осредненных, так и пульсационных характеристик течений, по крайней мере на начальной стадии нелинейного развития возмущений.

При увеличении числа  $N_1$  учитываемых гармоник основной моды от 4 до 20 интегральные характеристики менялись не более чем на 5%, локальные – примерно на 10–15% (при  $t \leq t_{\max}$ ).

3. Одним из наиболее интересных результатов проведенных численных экспериментов является обнаружение сильного роста длинноволновых составляющих, существенно превышающего обычный экспоненциальный рост по линейной теории. Сильное нарастание длинноволновых возмущений приводит в свою очередь к более интенсивному сглаживанию осредненного по  $x$  профиля продольной составляющей скорости.

Для выявления этих эффектов проводились следующие варианты численных расчетов. В I варианте:  $\alpha=0,1$ ;  $\beta=0$ ;  $N_1=20$ ;  $N_2=0$ ;  $A_{1n0m}(0)=10^{-6}$ ,  $n \neq 4$ ,  $n \neq 5$ ;  $A_{140m}(0)=A_{150m}(0)=10^{-4}$ . Во II и III вариантах соответственно  $\alpha=0,4$  и  $0,5$  ( $\beta=0$ ;  $N_1=4$ ;  $N_2=0$ ;  $A_{1n0m}(0)=10^{-6}$ ;  $n \neq 1$ ;  $A_{110m}(0)=10^{-4}$ ).

На фиг. 1 (кривые 1–3 соответствуют вариантам I–III) показано изменение осредненной скорости  $\Delta U$  от времени  $t$  при  $y=1$ . Существенно, что характерные значения осредненной скорости с учетом развитых длинноволновых возмущений при  $t=70$ –90 оказались в несколько раз больше, чем соответствующие значения для одноволнового режима при  $\alpha=0,4$  и примерно на порядок больше, чем при  $\alpha=0,5$ .

Отметим, что процесс сглаживания осредненного профиля скорости и передачи энергии от осредненного течения к возмущениям происходит не монотонно – на некоторых стадиях развития наблюдается обратная передача энергии от возмущений к осредненному течению (фиг. 1). Заметим также, что с введением длинноволновых возмущений характерная амплитуда основного тона несколько убывает, при этом существенную долю энергии длинноволновые возмущения «черпают» из осредненного потока. Взаимодействие с осредненным течением осуществляется в значительной степени через связь с основным тоном, непосредственное развитие только длинноволновых возмущений оказывается менее интенсивным.

Интересно, что в слое смешения в отличие от струйных течений [14] наблюдается заметное выделение субгармоники ( $0,5\alpha$ ) по сравнению с другими длинноволновыми составляющими (фиг. 2, кривая 2). Так, при больших временах нелинейного развития  $t \approx 2t_{\max} \approx 10^2$  амплитуда субгармоники ( $0,5\alpha$ ) может превышать амплитуду разностной длинноволновой составляющей примерно на порядок (фиг. 2, кривые 2, 3). При этом амплитуда субгармоники может превышать и амплитуду основного тона в несколько раз (фиг. 2, кривые 1, 2) – тем самым происходит попарное объединение вихрей и увеличение характерного размера возмущений в 2 раза. Аналогичное явление наблюдается в эксперименте, причем как в области низких чисел Рейнольдса, так и в области высоких чисел Рейнольдса при турбулентном режиме движения [4, 15].

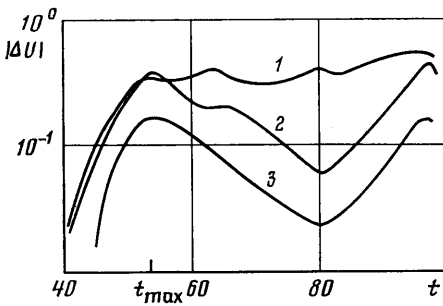
Заметим, что интенсивное развитие длинноволновых возмущений в слое смешения, по-видимому, объясняется простыми резонансными эффектами вида  $\alpha_1 - \alpha_2 = \alpha_3$ . Здесь  $\alpha_1$  и  $\alpha_2$  – некие близкие волновые числа (например,  $\alpha_1=0,5$ ;  $\alpha_2=0,4$ ),  $\alpha_3$  – соответствующая разностная длинноволновая ком-

пONENTA. Соотношение для частот

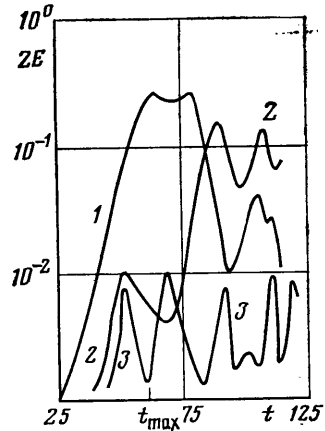
$$\omega_1(\alpha_1) - \omega_2(\alpha_2) = \omega_3(\alpha_3)$$

выполняется автоматически для любых волновых чисел, так как в слое смешения  $\omega_s(\alpha) = 0$ . Выделение на общем фоне субгармоники ( $0,5\alpha$ ) может объясняться учетом резонанса более низкого порядка:  $\alpha_1 - \alpha_2 = \alpha_3$ ,  $\alpha_2 = \alpha_1/2$ .

В работе был также проведен ряд расчетов по исследованию нелинейного взаимодействия основного тона с коротковолновыми возмущениями. Показано, что введение коротковолновых возмущений с амплитудой порядка  $10^{-3}$  не оказывает существенного влияния на осредненные и пульсационные характеристики течения. Отметим, что в результате нелинейной



Фиг. 1



Фиг. 2

эволюции основного тона коротковолновые возмущения ( $\alpha > 1$ ), устойчивые по линейной теории, начинают нарастать и достигают на рассматриваемых временах  $t \approx 10^2$  величин как раз порядка  $10^{-3}$ . Введение более интенсивных коротковолновых возмущений с амплитудой порядка  $10^{-2} - 10^{-1}$  может приводить к «обратной» перекачке энергии от коротковолновых возмущений к осредненному течению.

Нелинейное взаимодействие двух плоских волн из средней части спектра (например,  $\alpha_1 = 0,4$  и  $\alpha_2 = 0,5$ ) сопровождается их взаимным ослаблением; соответственно развитие одной из них с малой начальной амплитудой на фоне другой с большой начальной амплитудой характеризуется увеличением времени ее развития.

Подчеркнем, что рассмотренные механизмы нелинейного взаимодействия возмущений в слое смешения имеют достаточно общий характер и могут быть использованы в ряде других струйных течений, представляющих собой комбинацию нескольких слоев смешения. Так, на границах струи с узкими слоями смешения неустойчивость в каждом слое развивается фактически независимо. Особенно это относится к развитию симметричных возмущений, для которых скорость осредненного течения на оси струи остается неизменной. Соответствующие оценки полезны, например, при анализе акустического воздействия на струйные течения [16]. Например, стабилизирующее воздействие «избранных» высокочастотных пульсаций может быть объяснено интенсивным развитием этих пульсаций в узких слоях смешения на границах струи, «размазыванием» этих слоев и менее интенсивным нарастанием основного тона на фоне такого «сглаженного» профиля средней скорости.

Расчеты, проведенные, например, при

$$\begin{aligned} \alpha &= 0,5; N_1=8; N_2=0; A_{l_{nom}}(0)=10^{-6}, n \neq 4 \\ A_{l_{om}}(0) &= 10^{-2}; y_j: 4; 3,5; 3; 2,7; 2,3; 2; 0 \\ U_j &: 0; 0; 0; 0,2; 0,8; 1; U(y)=U(-y) \end{aligned}$$

показали, что с введением мелкомасштабных пульсаций характерное время развития основного тона увеличивается примерно в 2 раза. Отметим, что конечная амплитуда основного тона при этом изменяется несущественно.

Полученные результаты по нелинейному взаимодействию и развитию возмущений в слое смещения находятся в хорошем соответствии с известными экспериментальными данными. Так, наличие в начальный момент двух выделенных волн и в расчете и в эксперименте приводит к заметно-му дополнительному «сглаживанию» профиля скорости основного потока. При этом наблюдается также выделение разностной составляющей (фиг. 2, кривая 3 [4]). Характерные значения нелинейных амплитуд основных гармоник в расчете достигают величин порядка  $10^{-1}$  (в районе первого локального максимума (при  $t=t_{max}$ ), фиг. 2); соответствующие экспериментальные значения оказываются примерно на 20–30% меньше, что, по-видимому, объясняется использованием в расчетах невязкой модели. При больших временах нелинейного развития  $t > 2t_{max}$  и в эксперименте [4] и в теории (фиг. 2, кривая 2) наблюдается выделение субгармоники, амплитуда которой при  $t \approx 2t_{max}$  достигает уровня основной волны, а при  $t > 2t_{max}$  существенно превосходит этот уровень — наблюдается «спаривание» вихрей. Характерные времена развития возмущений (в частности, основного тона и субгармоники) и в расчетах и в эксперименте вполне сопоставимы (фиг. 2, [4]), сопоставление проводилось следуя аналогии Рэлея.

Осредненные характеристики (например, толщина слоя смещения) также качественно согласуются: так, и в расчете и в эксперименте при  $t \approx 2t_{max}$  наблюдается увеличение толщины слоя смещения примерно в 3–4 раза.

4. Основное внимание в данном разделе уделено исследованию «вторичной» неустойчивости двумерных волновых течений по отношению к трехмерным возмущениям и анализу их нелинейной эволюции. Рассматривались варианты расчетов, включающие в себя субгармонические трехмерные резонансные тройки волн с волновыми числами  $(0,5\alpha, \pm\beta)$  и  $(\alpha, 0)$ , первичные резонансы трехмерных возмущений вида  $(\alpha, \pm\beta)$  со второй гармоникой основной волны  $(2\alpha, 0)$ , а также резонансы более высоких порядков.

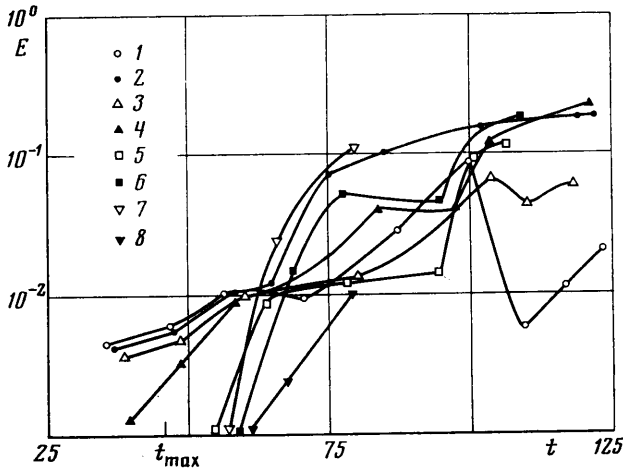
Проводилась серия расчетов с волновым числом вдоль оси  $x$   $\alpha=0,2$  и учетом четырех гармоник  $N_1=4$ ; волновые числа вдоль оси  $z$  брались различные: IV вариант  $\beta=0,01$ ; V —  $\beta=0,1$ ; VI —  $\beta=0,35$ ; VII —  $\beta=1$ ; VIII —  $\beta=0$  (двумерный вариант — для сравнения). При этом учитывалось две гармоники вдоль оси  $z$  ( $N_2=2$ ) и соответственно всевозможные комбинации вида  $(n\alpha x \pm k\beta z)$  ( $n=1, \dots, 4; k=1, 2$ ). Амплитуды возмущений в начальный момент задавались следующие:  $A_{l_{2om}}(0)=10^{-3}$ ;  $A_{l_{nkm}}(0)=10^{-4}$  ( $n \neq 2, k \neq 0$ ).

Проведенные расчеты установили неустойчивость плоских волновых режимов в слое смещения по отношению к трехмерным возмущениям. Причем оказалось, что трехмерные возмущения с различными поперечными размерами (определяемыми волновым числом  $\beta$ ) нарастают в широком диапазоне изменения  $\beta$  примерно до одних и тех же величин порядка  $10^{-1}$  (фиг. 3). Здесь изображены зависимости от времени огибающей энергии волн для различных  $\beta$  (в точках  $x=2\pi; y=0,3; z=2\pi$ ), соответствующие вариантам IV–VII; кривые 1–8 отвечают волновым числам  $\beta$ , равным соответственно 0,01; 0,02; 0,1; 0,2; 0,35; 0,7; 1; 2. Наиболее интенсивно трехмерные возмущения начинают нарастать на фоне развитой двумерной

волны. При этом наибольшие коэффициенты нарастания имеет возмущение с волновым числом  $\beta=1$  (фиг. 3, кривая 7).

Отметим, что коэффициенты нарастания двумерных возмущений и наиболее растущих трехмерных возмущений в слое смешения в отличие от пристенных течений [17–22] примерно равны (фиг. 2 и 3). Это объясняется тем, что в пристенных течениях [17–22] образование волн Толлмина — Шлихтинга обусловлено вязкостью, а вторичная неустойчивость трехмерных возмущений — в основном невязкими механизмами. Поэтому в пограничных течениях коэффициенты нарастания двумерных возмущений оказываются примерно на порядок меньше коэффициентов, соответствующих вторичной трехмерной неустойчивости [17–22].

Большой интерес представляет выяснение вопроса о нелинейной эволюции структуры трехмерных течений. Первоначально все возмущения



Фиг. 3

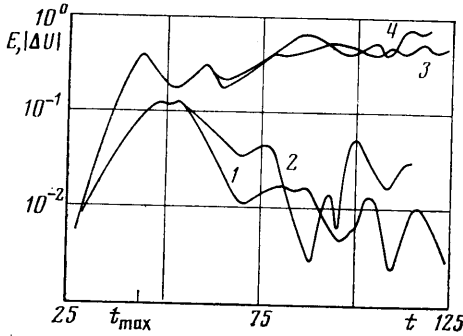
нарастают, следуя линейной теории. Затем на фоне развитой двумерной волны  $(\alpha, 0)$  с амплитудой порядка  $10^{-1}$  начинает наиболее интенсивно выделяться трехмерное «субгармоническое» возмущение  $(0,5\alpha, \beta)$ , причем сильнее растут длинные трехмерные волны (варианты IV, V). При дальнейшем развитии возмущений наряду с трехмерной «субгармоникой» начинают выделяться и другие трехмерные составляющие  $(\alpha, \pm\beta)$ ,  $(2\alpha, \pm\beta)$ ,  $(\alpha, \pm 2\beta)$ . Отметим, что смена субгармонического резонанса первичным  $(\alpha, \pm\beta)$  [17–21] приводит к качественной перестройке картины волнового течения. При субгармоническом резонансе искривление двумерных волн в плане носит несимметричный характер. При первичном же резонансе все вихри «изгибаются» абсолютно одинаково.

Тот факт, что при большой амплитуде плоской волны в потоке в зависимости от начальных условий могут развиваться трехмерные возмущения различного типа, сильно усложняет интерпретацию экспериментально наблюдаемых картин течения. В различных экспериментах в зависимости от начального спектрального состава и амплитуд возмущений могут наблюдаться, вообще говоря, качественно несогласующиеся явления.

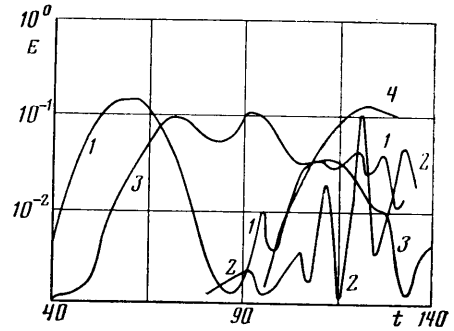
Кроме того, конкретный отбор того или иного трехмерного масштаба, определяемого волновым числом  $\beta$ , как в эксперименте, так и в расчете в значительной степени зависит от начальных данных задачи. Существенную роль при этом может играть не только спектральный состав начальных возмущений, но и их относительный уровень.

Интересно, что зависимость продольной скорости возмущений от поперечной координаты  $y$  в двумерном и трехмерном случаях носит подоб-

ный характер. Точки максимума, минимума и их значения практически совпадают при  $t \approx t_{\max}$ , в то же время для больших значений  $|y|$  абсолютные величины продольной скорости при наличии трехмерных возмущений больше, чем в двумерном варианте, на 10–20%. При больших временах в связи с ростом трехмерных составляющих наблюдается еще большее различие двумерного и трехмерного случая для больших  $|y|$ , соответствие точек максимума и минимума при этом сохраняется. Тем самым рост трехмерных возмущений приводит не к появлению дополнительных вихревых образований, а к некоторой пространственной деформации первоначально плоских волн. Причем в данном случае имеет место неустойчивость, отличная от Гертлеровской [3]. Подобное трехмерное искривление и сжатие



Фиг. 4



Фиг. 5

двумерных вихрей характерно также и для других сдвиговых течений [17, 18].

Существенно, что в определенном диапазоне параметров главную роль играют относительные амплитуды, т. е. отнормированное распределение интенсивности по спектру, а не сами абсолютные значения амплитуд. Так, сопоставление расчетов при  $A_{120m}(0) = 10^{-4}$ ,  $A_{1nk m}(0) = 10^{-6}$  и  $A_{120m} = 10^{-2}$ ,  $A_{1nk m}(0) = 10^{-4}$  ( $\alpha = 0,25$ ,  $\beta = 0,01$ ;  $0,1$ ;  $0,433$ ,  $N_1 = 4$ ,  $N_2 = 1$ ) показывает в обоих вариантах первоначальное выделение двумерной волны, последующее развитие трехмерных возмущений и преимущественное выделение длинноволновых составляющих, а также примерное «равноправие» крупномасштабных возмущений. В целом процесс как бы подобно сдвигается в сторону меньших времен примерно на  $\Delta t \approx 30$  безразмерных величин.

Изменение же в спектральном распределении амплитуд (при фиксированном частотном наборе) может приводить к качественным изменениям картины нелинейной трехмерной эволюции. Например, в случае равномерного начального распределения (все  $A_{1nk m}(0) = 10^{-4}$ ) заметного выделения двумерной волны не происходит, трехмерные составляющие развиваются примерно при тех же временах и достигают того же уровня энергии.

При выделении основной двумерной волны ( $\alpha = 0,4$ ) (варианты IV–VIII) ее энергия достигает первого локального максимума  $E \approx 0,15$  при  $t \approx 50$  безразмерных единиц, а затем заметно уменьшается, так как при  $t > 50$  интенсивно начинают развиваться длинные плоские волны и трехмерные составляющие, причем самое сильное уменьшение энергии основной волны в IV варианте ( $\beta = 0,01$ ) (фиг. 4). Здесь изображена зависимость энергии основной волны ( $\alpha = 0,4$ ) от времени для некоторых  $\beta$  (варианты IV, VI, кривые 1, 2), а также изменение профиля усредненной по продольной составляющей скорости от времени в точке наибольшего отклонения при  $y = 1$  для тех же вариантов (кривые 3, 4). Характер изменения профиля средней скорости в двумерных и трехмерных вариантах идентичный, однако сглаживание профиля в трехмерном случае несколько большее (при  $t > 2t_{\max}$ ) (фиг. 4). Отметим, что представленные результаты

имеют определенную общность для различных градиентных течений [14, 14, 17–22].

5. В рамках рассматриваемого подхода проведены также следующие численные эксперименты, моделирующие влияние твердой стенки на неустойчивость слоя смещения: в первом варианте расчета твердая граница задавалась при  $y_* = 3$ , во втором — при  $y_* = 7$  ( $\alpha = 0,25$ ;  $\beta = 0,1$ ;  $N_1 = 4$ ;  $N_2 = 1$ ;  $A_{120m}(0) = 10^{-4}$ ;  $A_{1nkm}(0) = 10^{-6}$ ;  $n \neq 2$ ).

Проведенные расчеты показали, в частности, что введение твердой границы приводит к некоторому замедлению, «растягиванию», процесса нелинейной эволюции основной двумерной волны (фиг. 5). Здесь изображены зависимости энергии различных мод ( $\alpha$ ,  $\beta$ ) от времени:  $y_* = 7$ ; кривая 1 (0,5; 0); кривая 2 (0,25; 0,1) и соответственно при  $y_* = 3$ ; кривые 3, 4. Так, время выхода на первый локальный экстремум при  $y_* = 3$  увеличивается по сравнению со свободным слоем  $y_* = \infty$  примерно на 20%. Последующая нелинейная стадия «спадания» интенсивности основного тона также растягивается: при  $y_* = 3$  примерно в 1,5 раза (фиг. 5). Субгармоники ( $0,5\alpha$ ) в присутствии стенки ведут себя менее «активно»; их интенсивность не превышает интенсивности основного тона, характерные времена развития также увеличиваются примерно в 1,5 раза (при  $y_* = 3$ ).

В целом присутствие стенки оказывает стабилизирующее воздействие на двумерные возмущения и, кроме того, приводит к их более регулярному поведению.

Однако трехмерные возмущения, наоборот, в присутствии стенки начинают нарастать существенно интенсивнее (фиг. 5, кривая 4): при  $y_* = 3$  характерная амплитуда трехмерной волны с волновым числом  $\beta$  при  $t \approx 10^2$  вырастает по сравнению со случаем  $y_* = \infty$  примерно в 1,5 раза.

На основном, осредненном по  $x$  профиле продольной составляющей скорости присутствие стенки сказывается несущественно.

При удалении твердой стенки на сравнительно небольшое расстояние ( $y_* = 7$ ), равное примерно двум толщинам слоя смещения, влияние ее на нелинейную устойчивость практически исчезает. Это относится как к двумерным, так и к трехмерным характеристикам течения.

#### ЛИТЕРАТУРА

1. Рэлея Д. Теория звука. Т. 1. М.: Гостехиздат, 1955. 503 с.
2. Петров Г. И. Об устойчивости вихревых слоев.— Тр. ЦАГИ, 1937, вып. 304. 24 с.
3. Бетхов Р., Криминале В. Вопросы гидродинамической устойчивости. М.: Мир, 1971. 350 с.
4. Miksa R. W. Experiments on nonlinear interactions in the transition of a free shear layer.— J. Fluid Mech., 1973, в. 59, № 1, р. 1–21.
5. Гольдштик М. А., Штерн В. Н. Гидродинамическая устойчивость и турбулентность. М.: Наука, 1977. 366 с.
6. Сухоруков А. Н. Численное моделирование нелинейного взаимодействия волн в слое смещения.— В кн.: Численные методы механики сплошной среды. Т. 10, № 3. Новосибирск, 1979, с. 127–129.
7. Орсег С. Численное моделирование турбулентных течений.— В кн.: Турбулентность. Принципы и применения. М.: Мир, 1980, с. 311–347.
8. Петров Г. И. Применение метода Галеркина к задачам об устойчивости течения вязкой жидкости.— ПММ, 1940, т. 4, № 3, с. 3–12.
9. Шкадов В. Я. Некоторые методы и задачи теории гидродинамической устойчивости.— Науч. тр. Ин-та мех. МГУ, 1973, № 25. 192 с.
10. Герценштейн С. Я. О сходимости метода Рэлея.— Докл. АН СССР, 1969, т. 187, № 5, с. 1012–1015.
11. Герценштейн С. Я., Лезин Е. М., Шкадов В. Я. О нелинейном развитии и взаимодействии колебаний в плоском следе.— В кн.: 2-я Всесоюз. конф. «Современные проблемы тепловой конвекции» (тез. докл.). Пермь, 1975, с. 37.
12. Герценштейн С. Я., Шмидт В. М. Нелинейное развитие и взаимодействие возмущений конечной амплитуды при конвективной неустойчивости вращающегося плоского слоя.— Докл. АН СССР, 1975, т. 225, № 1, с. 59–62.
13. Герценштейн С. Я. О применении метода Рэлея к нелинейным и трехмерным задачам.— Докл. АН СССР, 1976, т. 231, № 6, с. 1319–1322.
14. Герценштейн С. Я., Сухоруков А. Н., Шкадов В. Я. О нелинейных колебаниях в плоском следе.— Изв. АН СССР. МЖГ, 1977, № 3, с. 10–16.



15. *Рошко*. Структура турбулентных сдвиговых течений: новая точка зрения.— Ракетная техника и космонавтика, 1976, т. 14, № 10, с. 8–20.
16. *Гиневский А. С., Власов Е. В., Колесников А. В.* Аэроакустические взаимодействия. М.: Машиностроение, 1978. 177 с.
17. *Orszag S. A., Patera A. T.* Secondary instability of wallbounded shear flows.— J. Fluid Mech., 1983, v. 128, p. 347–385.
18. *Herbert T.* Secondary instability of plane channel flow to subharmonic three-dimensional disturbances.— Phys. Fluids, 1983, v. 26, № 4, p. 871–874.
19. *Зельман М. Б., Качанов Ю. С., Козлов В. В., Кокоткин А. Ф., Левченко В. Я., Рамазанов М. П.* Нелинейные волновые явления при переходе ламинарного пограничного слоя в турбулентный.— В кн.: 5-й Всесоюз. съезд по теорет. и прикл. механике. Алма-Ата, 1981. Аннот. докл. Алма-Ата: Наука, 1981, с. 163–164.
20. *Герценштейн С. Я., Штемлер Ю. М.* Нелинейное развитие возмущений в пограничных слоях и их устойчивость.— Докл. АН СССР, 1977, т. 234, № 6, с. 1277–1280.
21. *Штерн В. Н.* О неустойчивости к трехмерным возмущениям.— Изд. АН СССР. МЖГ, 1976, № 5, с. 29–34.
22. *Приймак В. Г., Рождественский Б. Л.* Численное моделирование двумерной турбулентности в плоском канале.— В кн.: 5-й Всесоюз. съезд по теорет. и прикл. механике. Алма-Ата, 1981. Аннот. докл. Алма-Ата: Наука, 1981, с. 295–296.

Москва

Поступила в редакцию  
5.XII.1983